

ISSN 0320-7102

Том  
45

# АВТОМЕТРИЯ

OPTOELECTRONICS, INSTRUMENTATION AND DATA PROCESSING

№ 1  
2009

**ОБНАРУЖЕНИЕ ДВИЖУЩЕГОСЯ ОБЪЕКТА  
ПРИ ОТСУТСТВИИ АПРИОРНОЙ ИНФОРМАЦИИ  
О ВЕКТОРЕ СКОРОСТИ  
И ИНТЕНСИВНОСТЯХ ИЗОБРАЖЕНИЯ И ФОНА\***

**А. П. Трифонов, Р. В. Кузов**

Воронежский государственный университет,  
394006, г. Воронеж, Университетская площадь, 1  
*E-mail: trifonov@phys.vsu.ru*

Выполнены синтез и анализ максимально правдоподобного алгоритма обнаружения пространственно протяженного объекта. Исследовано влияние априорного незнания вектора скорости движения объекта, интенсивностей его изображения и фона на эффективность обнаружения.

*Ключевые слова:* аппликативная модель, обнаружение, неизвестный вектор скорости движения объекта, неизвестные интенсивности, максимально правдоподобный алгоритм.

**Введение.** В процессе обработки результатов дистанционного наблюдения возникает необходимость в обнаружении объектов по их изображениям. Вопросы обнаружения пространственно протяженных объектов (ППО) рассматриваются в [1–6] и других работах. Задачам синтеза и анализа алгоритмов обнаружения движущихся ППО посвящены работы [3–6] и др. В [3] исследованы потенциальные возможности обнаружения и маскирования средствами камуфляжа движущегося детерминированного ППО, наблюдаемого на детерминированном фоне. В [5] определены характеристики обнаружения ППО, движущегося в известном направлении с неизвестной скоростью, при неизвестных интенсивностях изображения и фона, а в [6] найдена эффективность максимально правдоподобного (МП) алгоритма обнаружения детерминированного изображения объекта, движущегося с неизвестным вектором скорости, при известной интенсивности фона. Однако часто вектор скорости движения объекта и интенсивности его изображения и фона априори неизвестны.

Целью данной работы является синтез и анализ МП-алгоритма обнаружения ППО, движущегося с неизвестным вектором скорости, по его изображению с неизвестной интенсивностью при наличии фона с неизвестной интенсивностью.

\* Работа выполнена при поддержке Российского фонда фундаментальных исследований (проекты № 06-07-96301, № 07-01-00042).

**Постановка задачи.** Пусть в двумерной области  $\Omega$  в течение интервала времени  $[0, T]$  доступна наблюдению реализация гауссовского случайного поля  $\Xi(\mathbf{r}, t)$ , где  $\mathbf{r} = (x, y)$  – радиус-вектор точки на плоскости, принадлежащей  $\Omega$ , а  $t$  – время. Положим [4–6], что при гипотезе  $H_1$  поле  $\Xi(\mathbf{r}, t)$  содержит изображение объекта  $s(\mathbf{r} - \mathbf{V}_0 t)$ , движущегося из заданного положения в неизвестном направлении со скоростью  $\mathbf{V}_0$ , неподвижный фон  $v(\mathbf{r})$  и аддитивный гауссовский пространственно-временной белый шум  $n(\mathbf{r}, t)$  с нулевым математическим ожиданием и корреляционной функцией

$$\langle n(\mathbf{r}_1, t_1) n(\mathbf{r}_2, t_2) \rangle = N_0 \delta(\mathbf{r}_1 - \mathbf{r}_2) \delta(t_1 - t_2) / 2,$$

где  $N_0$  – односторонняя спектральная плотность белого шума. При гипотезе  $H_0$  поле  $\Xi(\mathbf{r}, t)$  содержит фон  $v(\mathbf{r})$  и аддитивный пространственно-временной шум  $n(\mathbf{r}, t)$ .

В соответствии с аппликативной моделью [1–4], учитывающей эффекты затенения объектом участка фона, полагаем, что изображение объекта занимает часть  $\Omega_s$  области  $\Omega$ , а фон – оставшуюся часть области наблюдения. При отсутствии объекта фон занимает всю область наблюдения. Тогда в течение интервала времени  $[0, T]$  наблюдению доступна реализация изображения в картинной плоскости:

$$\Xi(\mathbf{r}, t) = \begin{cases} b_0 v_1(\mathbf{r}) + n(\mathbf{r}, t) : H_0, \\ a_0 s_1(\mathbf{r} - \mathbf{V}_0 t) I_s(\mathbf{r} - \mathbf{V}_0 t) + b_0 v_1(\mathbf{r}) [1 - I_s(\mathbf{r} - \mathbf{V}_0 t)] + n(\mathbf{r}, t) : H_1. \end{cases} \quad (1)$$

Здесь  $a_0 = \max s(\mathbf{r} - \mathbf{V}_0 t)$ ,  $b_0 = \max v(\mathbf{r})$  – истинные значения априори неизвестных интенсивностей изображения объекта и фона;  $s_1(\mathbf{r} - \mathbf{V}_0 t) = s(\mathbf{r} - \mathbf{V}_0 t)/a_0$ ,  $v_1(\mathbf{r}) = v(\mathbf{r})/b_0$ , так что  $\max s_1(\mathbf{r} - \mathbf{V}_0 t) = 1$ ,  $\max v_1(\mathbf{r}) = 1$ ;  $I_s(\mathbf{r}) = 1$  при  $\mathbf{r} \in \Omega_s$  и  $I_s(\mathbf{r}) = 0$  при  $\mathbf{r} \notin \Omega_s$  – индикатор, описывающий форму изображения объекта. Положим, что объект движется из заданного положения с априори неизвестным вектором скорости  $\mathbf{V}_0 = V_{0x} \mathbf{i}_x + V_{0y} \mathbf{i}_y$ , где  $\mathbf{i}_x$  и  $\mathbf{i}_y$  – орты осей  $X$  и  $Y$  прямоугольной системы координат, а  $V_{0x}$  и  $V_{0y}$  – компоненты вектора  $\mathbf{V}_0$ , которые представляют собой проекции этого вектора на оси  $X$  и  $Y$ . Обозначим через  $\mathbf{V} = V_x \mathbf{i}_x + V_y \mathbf{i}_y$  вектор с компонентами  $V_x$  и  $V_y$ .

На основе наблюдаемых данных необходимо вынести решение о наличии или отсутствии объекта в области наблюдения.

**Обнаружение объекта, движущегося с неизвестным вектором скорости.** Для решения задачи проверки гипотезы  $H_1$  против альтернативы  $H_0$  необходимо сформировать логарифм функционала отношения правдоподобия (ФОП), определяемый как разность логарифмов ФОП при проверке гипотез  $H_1$  и  $H_0$  против простой альтернативы  $H_0$  наличии в реализации наблюдаемых данных только гауссовского белого шума  $n(\mathbf{r}, t)$  [4]:

$$L(V_x, V_y) = L_1(a, b, V_x, V_y) - L_0(b),$$

где

$$L_1(a, b, V_x, V_y) =$$

$$= \frac{2}{N_0} \int_0^T \int_{\Omega} \Xi(\mathbf{r}, t) \left\{ a s_1(\mathbf{r} - \mathbf{V} t) I_s(\mathbf{r} - \mathbf{V} t) + b v_1(\mathbf{r}) [1 - I_s(\mathbf{r} - \mathbf{V} t)] \right\} d\mathbf{r} dt -$$

$$-\frac{1}{N_0} \int_0^T \int_{\Omega} \left\{ a^2 s_1^2(\mathbf{r} - \mathbf{V}t) I_s(\mathbf{r} - \mathbf{V}t) + b^2 v_1^2(\mathbf{r}) [1 - I_s(\mathbf{r} - \mathbf{V}t)] \right\} d\mathbf{r} dt,$$

$$L_0(b) = \frac{2b}{N_0} \int_0^T \int_{\Omega} \Xi(\mathbf{r}, t) v_1(\mathbf{r}) d\mathbf{r} dt - \frac{b^2 T}{N_0} \int_{\Omega} v_1^2(\mathbf{r}) d\mathbf{r}.$$

С целью повышения эффективности обнаружения при неизвестных интенсивностях изображения объекта и фона целесообразно одновременно производить оценку неизвестных интенсивностей [4, 5, 7, 8]. Заменяя значения неизвестных интенсивностей их МП-оценками, получаем выражение для логарифма ФОП в случае, когда интенсивности изображения объекта и фона априори неизвестны [4]:

$$L_m(V_x, V_y) = \sup_{a, b} L_1(a, b, V_x, V_y) - \sup_b L_0(b) =$$

$$= \frac{\left[ \int_0^T \int_{\Omega} \Xi(\mathbf{r}, t) s_1(\mathbf{r} - \mathbf{V}t) I_s(\mathbf{r} - \mathbf{V}t) d\mathbf{r} dt \right]^2}{N_0 \int_0^T \int_{\Omega} s_1^2(\mathbf{r} - \mathbf{V}t) I_s(\mathbf{r} - \mathbf{V}t) d\mathbf{r} dt} +$$

$$+ \frac{\left[ \int_0^T \int_{\Omega} \Xi(\mathbf{r}, t) v_1(\mathbf{r}) [1 - I_s(\mathbf{r} - \mathbf{V}t)] d\mathbf{r} dt \right]^2}{N_0 \int_0^T \int_{\Omega} v_1^2(\mathbf{r}) [1 - I_s(\mathbf{r} - \mathbf{V}t)] d\mathbf{r} dt} - \frac{\left[ \int_0^T \int_{\Omega} \Xi(\mathbf{r}, t) v_1(\mathbf{r}) d\mathbf{r} dt \right]^2}{N_0 \int_0^T \int_{\Omega} v_1^2(\mathbf{r}) d\mathbf{r} dt}. \quad (2)$$

Будем считать, что компоненты вектора скорости  $V_{0x}$  и  $V_{0y}$  принимают значения из априорных интервалов  $W_x = [-V_{x \max}/2; V_{x \max}/2]$  и  $W_y = [-V_{y \max}/2; V_{y \max}/2]$  соответственно. Обозначим через  $W$  двумерную область, в пределах которой  $V_{0x} \in W_x$ ,  $V_{0y} \in W_y$ .

Для того чтобы исключить влияние неизвестных компонент вектора скорости, заменим их значения в (2) МП-оценками [7]

$$(\hat{V}_x, \hat{V}_y) = \arg \sup_{(V_x, V_y) \in W} L_m(V_x, V_y).$$

МП-алгоритм обнаружения изображения, движущегося с неизвестным вектором скорости, формирует величину

$$\hat{L} = \sup_{(V_x, V_y) \in W} L_m(V_x, V_y) = L_m(\hat{V}_x, \hat{V}_y)$$

и принимает решение, сравнивая  $\hat{L}$  с порогом  $h$ , определяемым выбранным критерием оптимальности [7–9]

$$\hat{L} \stackrel{H_1}{\gtrless} h. \quad (3)$$

Положим далее, что изображение объекта и фон являются равномерными, т. е.  $s_1(\mathbf{r} - \mathbf{V}t) = 1$ ,  $v_1(\mathbf{r}) = 1$ . Подставляя в (2) реализацию наблюдаемых данных (1),  $L_m(V_x, V_y)$  можно представить в виде

$$L_m(V_x, V_y) = \frac{\kappa}{2(\kappa - 1)} \left[ \gamma_0 z \left( S(V_x, V_{0x}; V_y, V_{0y}) - \frac{1}{\kappa} \right) + N(V_x, V_y) - \frac{\xi}{\sqrt{\kappa}} \right]^2, \quad (4)$$

где  $\gamma_0 = 1$ , если верна гипотеза  $H_1$ , и  $\gamma_0 = 0$ , если верна гипотеза  $H_0$ ;

$$\begin{aligned} S(V_x, V_{0x}; V_y, V_{0y}) &= \\ &= \frac{1}{G_s T} \int_0^T \iint_{\Omega} I_s(x - V_x t, y - V_y t) I_s(x - V_{0x} t, y - V_{0y} t) dx dy dt; \end{aligned} \quad (5)$$

$z = |a_0 - b_0| \sqrt{2G_s T / N_0}$ ;  $N(V_x, V_y)$  – реализация гауссовского случайного поля с нулевым средним значением и корреляционной функцией

$$\langle N(V_{1x}, V_{1y}) N(V_{2x}, V_{2y}) \rangle = S(V_{1x}, V_{2x}; V_{1y}, V_{2y}),$$

а  $\xi$  – гауссовская случайная величина с нулевым средним значением и единичной дисперсией, причем коэффициент корреляции между случайнм полем  $N(V_x, V_y)$  и случайной величиной  $\xi$  имеет вид  $R_{N\xi} = \langle N(V_x, V_y) \xi \rangle = 1/\sqrt{\kappa}$ . Здесь  $G_s$  – площадь изображения объекта, а  $\kappa = G_{\Omega}/G_s$  – отношение площади области наблюдения  $\Omega$  к площади объекта ( $\kappa > 1$ ). Отметим, что

$$\max S(V_x, V_{0x}; V_y, V_{0y}) = S(V_{0x}, V_{0x}; V_{0y}, V_{0y}) = 1.$$

Рассмотрим случай обнаружения прямоугольного объекта размером  $l_x \times l_y$ , стороны которого параллельны соответствующим координатным осям. В этом случае функция (5) имеет вид

$$S(V_x, V_{0x}; V_y, V_{0y}) = S(\tau_x, \tau_y) = \Theta(1 - \Theta \tau_x - \Theta \tau_y + 4\Theta^2 \tau_x \tau_y / 3), \quad (6)$$

где  $\tau_x = |V_x - V_{0x}| T / 2l_x$ ,  $\tau_y = |V_y - V_{0y}| T / 2l_y$ ,  $\Theta = \min \{1, 1/2\tau_x, 1/2\tau_y\}$ , а  $z^2 = 2l_x l_y T (a_0 - b_0)^2 / N_0$ .

При  $\Delta V = |\mathbf{V} - \mathbf{V}_0| = \sqrt{(V_x - V_{0x})^2 + (V_y - V_{0y})^2} \rightarrow 0$  функция (6) допускает асимптотическое представление

$$S(V_x, V_{0x}; V_y, V_{0y}) = 1 - \delta_x |V_x - V_{0x}| - \delta_y |V_y - V_{0y}| + o(\Delta V), \quad (7)$$

где  $\delta_x = T / 2l_x$ ,  $\delta_y = T / 2l_y$ . Отметим [5], что  $S(V_x, V_{0x}; V_y, V_{0y}) = O(\Delta V^{-1})$  при  $\Delta V \rightarrow \infty$ .

Согласно (7) функция (6) не имеет второй производной при  $\Delta V = 0$ . Так как (6) является корреляционной функцией для  $N(V_x, V_y)$ , реализации

$N(V_x, V_y)$  не дифференцируемы, хотя и непрерывны с вероятностью единица [8].

Обычно эффективность алгоритма обнаружения характеризуется величинами вероятностей ложной тревоги  $\alpha$  и пропуска объекта  $\beta$  [8, 9]. Поскольку обнаружение производится по МП-методу, эти вероятности могут быть записаны в виде

$$\alpha_1 = P \left[ \sup_{(V_x, V_y) \in W} L_m(V_x, V_y) > h \mid \gamma_0 = 0 \right] = P[M_0 > h], \quad (8)$$

$$\beta_1 = P \left[ \sup_{(V_x, V_y) \in W} L_m(V_x, V_y) < h \mid \gamma_0 = 1 \right] = P[M_1 < h]. \quad (9)$$

Здесь  $M_0$  и  $M_1$  – величины абсолютного (наибольшего) максимума логарифма ФОП  $L_m(V_x, V_y)$  при отсутствии и наличии изображения объекта в наблюдаемой реализации соответственно.

Согласно (4), (8) для определения вероятности ложной тревоги надо найти функцию распределения величины абсолютного максимума случайного поля

$$L_{m0}(V_x, V_y) = \frac{\kappa}{2(\kappa - 1)} \left[ N(V_x, V_y) - \frac{\xi}{\sqrt{\kappa}} \right]^2 : F_0(h) = P[L_{m0}(\hat{V}_x, \hat{V}_y) < h],$$

где  $(\hat{V}_x, \hat{V}_y)$  – положение абсолютного максимума  $L_m(V_x, V_y)$  при  $(V_x, V_y) \in W$  и отсутствии объекта в области наблюдения. Тогда вероятность ложной тревоги

$$\alpha_1 = 1 - F_0(h). \quad (10)$$

Заметим, что

$$\begin{aligned} F_0(h) &= P \left[ \sup_{(V_x, V_y) \in W} \frac{|\sqrt{\kappa} N(V_x, V_y) - \xi|}{\sqrt{\kappa - 1}} < \sqrt{2h} \right] = \\ &= P^2 \left[ \sup_{(V_x, V_y) \in W} \Lambda_0(V_x, V_y) < \sqrt{2h} \right] = F_N^2(\sqrt{2h}), \end{aligned} \quad (11)$$

где  $F_N(u) = P[\sup \Lambda_0(V_x, V_y) < u]$  – функция распределения абсолютного максимума гауссовского случайного поля

$$\Lambda_0(V_x, V_y) = [\sqrt{\kappa} N(V_x, V_y) - \xi] / \sqrt{\kappa - 1}.$$

Будем считать порог  $h$  достаточно большим, так что вероятность  $F_N(u)$  непревышения этого порога реализацией однородного центрированного гауссовского случайного поля  $\Lambda_0(V_x, V_y)$  определяется только локальными свойствами его корреляционной функции [7, 8]

$$B_0(V_{1x}, V_{2x}; V_{1y}, V_{2y}) = [\kappa S(V_{1x}, V_{2x}; V_{1y}, V_{2y}) - 1] / (\kappa - 1).$$

При  $\Delta V = |V_1 - V_2| \rightarrow 0$  корреляционная функция  $B_0(V_{1x}, V_{2x}; V_{1y}, V_{2y})$  поля  $\Lambda_0(V_x, V_y)$  допускает асимптотическое представление

$$B_0(V_{1x}, V_{2x}; V_{1y}, V_{2y}) = [B_x(V_{1x} - V_{2x}) + B_y(V_{1y} - V_{2y})]/2 + o(\Delta V), \quad (12)$$

где

$$\begin{aligned} B_x(V_{1x} - V_{2x}) &= \max \left[ 1 - \frac{2\kappa\delta_x}{\kappa-1} |V_{1x} - V_{2x}|; 0 \right], \\ B_y(V_{1y} - V_{2y}) &= \max \left[ 1 - \frac{2\kappa\delta_y}{\kappa-1} |V_{1y} - V_{2y}|; 0 \right]. \end{aligned} \quad (13)$$

В [6] с использованием метода локально-аддитивной аппроксимации [10] получено асимптотически точное (с ростом порога  $u$ ) выражение для функции распределения величины абсолютного максимума центрированного гауссовского случайного поля, корреляционная функция которого допускает асимптотическое представление вида (12). Воспользовавшись результатами [6], для функции распределения абсолютного максимума случайного поля  $\Lambda_0(V_x, V_y)$  получим асимптотическое выражение

$$\begin{aligned} F_N(u) = \exp \left[ -\sqrt{\frac{2}{\pi}} \frac{\kappa}{\kappa-1} \left( m_y \exp \left( -\frac{1}{2} \right) + m_x (u\sqrt{2}-1) \exp(-(u-1/\sqrt{2})^2) \right) \right] + \\ + \sqrt{\frac{2}{\pi}} \frac{m_y \kappa}{\kappa-1} \int_1^{u\sqrt{2}-1} (x^2-1) \exp \left\{ -\frac{x^2}{2} - \sqrt{\frac{2}{\pi}} \frac{\kappa}{\kappa-1} [m_y x \exp(-x^2/2) + \right. \\ \left. + m_x (u\sqrt{2}-x) \exp(-(u\sqrt{2}-x)^2/2)] \right\} dx \end{aligned} \quad (14)$$

при  $u > \sqrt{2}$ ,  $F_N(u) = 0$  при  $u \leq \sqrt{2}$ . Точность формулы (14) возрастает с увеличением  $m_x$ ,  $m_y$  и  $u$ . Здесь  $m_x = TV_{x \max}/2l_x$  и  $m_y = TV_{y \max}/2l_y$  – приведенные длины априорных интервалов возможных значений компонент вектора скорости, определяющие число их разрешимых значений [7, 8]. При этом число независимых отсчетов поля (4) в области  $W$  составляет  $m = m_x m_y$ . Отметим, что поскольку объект не покидает область наблюдения за время  $T$ , то справедливо неравенство  $\kappa \geq \max(2m_x + 1, 2m_y + 1)$  [5].

Подставляя (14) в (11), для вероятности ложной тревоги при обнаружении движущегося с неизвестным вектором скорости объекта при неизвестных интенсивностях его изображения и фона из (10) находим приближенное выражение

$$\alpha_1 = 1 - \left\{ \exp \left[ -\sqrt{\frac{2}{\pi}} \frac{\kappa}{\kappa-1} \left( m_y \exp \left( -\frac{1}{2} \right) + m_x (2\sqrt{h}-1) \exp(-(2\sqrt{h}-1)^2/2) \right) \right] + \right.$$

$$+ \sqrt{\frac{2}{\pi}} \frac{m_y \kappa}{\kappa - 1} \int_1^{2\sqrt{h}-1} (x^2 - 1) \exp \left\{ -\frac{x^2}{2} - \sqrt{\frac{2}{\pi}} \frac{\kappa}{\kappa - 1} [m_y x \exp(-x^2/2) + m_x (2\sqrt{h} - x) \exp(-(2\sqrt{h} - x)^2/2)] \right\} dx \Biggr\}^2 \quad (15)$$

при  $h > 1$ ,  $\alpha_1 = 1$  при  $h \leq 1$ . Точность формулы (15) растет с увеличением  $m_x$ ,  $m_y$  и  $h$ .

Определим теперь вероятность пропуска объекта (9). При  $m \gg 1$  приближенное выражение для вероятности пропуска объекта можно записать в виде [7, 8]

$$\beta_1 \approx F_0(h)F_S(h) \approx F_N^2(\sqrt{2h})F_S(h), \quad (16)$$

где  $F_S(h)$  – функция распределения величины абсолютного максимума  $L_m(V_x, V_y)$  в малой окрестности точки  $(V_{0x}, V_{0y})$  при  $\gamma_0 = 1$ .

Представим (4) в виде суммы сигнальной и шумовой функций [7]:

$$L_m(V_x, V_y) = \hat{S}(V_x, V_{0x}; V_y, V_{0y}) + \hat{N}(V_x, V_y) + 1/2. \quad (17)$$

Здесь

$$\hat{S}(V_x, V_{0x}; V_y, V_{0y}) = \langle L_m(V_x, V_y) \rangle - 1/2 = \frac{z^2 \kappa}{2(\kappa - 1)} \left[ S(V_x, V_{0x}; V_y, V_{0y}) - \frac{1}{\kappa} \right]^2 \quad (18)$$

– сигнальная функция,  $S(V_x, V_{0x}; V_y, V_{0y})$  определена в (5), а негауссовская шумовая функция  $\hat{N}(V_x, V_y) = L_m(V_x, V_y) - \langle L_m(V_x, V_y) \rangle$  центрирована и обладает корреляционной функцией

$$\begin{aligned} \hat{B}(V_{1x}, V_{2x}; V_{1y}, V_{2y}) &= \langle \hat{N}(V_{1x}, V_{1y}) \hat{N}(V_{2x}, V_{2y}) \rangle = \\ &= \frac{\kappa^2}{(\kappa - 1)^2} \left\{ z^2 \left[ S(V_{1x}, V_{2x}; V_{1y}, V_{2y}) - \frac{1}{\kappa} \right] \left[ S(V_{1x}, V_{0x}; V_{1y}, V_{0y}) - \frac{1}{\kappa} \right] \times \right. \\ &\quad \left. \times \left[ S(V_{2x}, V_{0x}; V_{2y}, V_{0y}) - \frac{1}{\kappa} \right] + \frac{1}{2} \left[ S(V_{1x}, V_{2x}; V_{1y}, V_{2y}) - \frac{1}{\kappa} \right]^2 \right\}. \end{aligned} \quad (19)$$

Отметим, что при  $V = V_0$  логарифм ФОП (17) обладает плотностью вероятности

$$w(L) = \exp(-L - z^2(\kappa - 1)/2\kappa) \operatorname{ch}(z \sqrt{2L(\kappa - 1)/\kappa}) / \sqrt{\pi L}$$

при  $L > 0$ ,  $w(L) = 0$  при  $L \leq 0$ .

Сигнальная функция (18) достигает максимума при  $\mathbf{V} = \mathbf{V}_0$ , следовательно, выходное отношение сигнал/шум (ОСШ) [8]

$$\tilde{z}^2 = \hat{S}^2(V_{0x}, V_{0y}; V_{0y}, V_{0y}) / \hat{B}(V_{0x}, V_{0x}; V_{0y}, V_{0y}) = z^4 \kappa^2 / 2[\kappa - 1 + 2z^2 \kappa](\kappa - 1).$$

Положим, что выходное ОСШ  $\tilde{z}^2$  достаточно велико. Введем обозначение

$$\Delta = \max \left( |V_{1x} - V_{0x}|, |V_{2x} - V_{0x}|, |V_{1y} - V_{0y}|, |V_{2y} - V_{0y}|, |V_{1x} - V_{2x}|, |V_{1y} - V_{2y}| \right).$$

Устремляя  $\Delta \rightarrow 0$  и учитывая (7), получим, что в малой окрестности точки  $(V_{0x}, V_{0y})$  для функций (18), (19) справедливы асимптотические разложения

$$\hat{S}(V_x, V_{0x}; V_y, V_{0y}) = z^2(\kappa - 1)[B_x(V_x - V_{0x}) + B_y(V_y - V_{0y})]/4\kappa + o(|\mathbf{V} - \mathbf{V}_0|),$$

$$\hat{B}(V_{1x}, V_{2x}; V_{1y}, V_{2y}) = \hat{B}_x(V_{1x}, V_{2x}) + \hat{B}_y(V_{1y}, V_{2y}) + o(\Delta),$$

где функции  $B_x(\cdot)$  и  $B_y(\cdot)$  определены в (13), а

$$\begin{aligned} \hat{B}_x(V_{1x}, V_{2x}) &= \left( z^2 \frac{\kappa - 1}{2\kappa} + \frac{1}{4} \right) \times \\ &\times \begin{cases} 1 - \frac{4\delta_x \kappa}{\kappa - 1} |V_{1x} - V_{2x}| - \frac{4z^2 \delta_x}{z^2(\kappa - 1)/\kappa + 1/2} \times \\ \times \min(|V_{1x} - V_{0x}|, |V_{2x} - V_{0x}|), (V_{1x} - V_{0x})(V_{2x} - V_{0x}) \geq 0, \\ 1 - \frac{4\delta_x \kappa}{\kappa - 1} |V_{1x} - V_{2x}|, (V_{1x} - V_{0x})(V_{2x} - V_{0x}) < 0, \end{cases} \quad (20) \end{aligned}$$

$$\begin{aligned} \hat{B}_y(V_{1y}, V_{2y}) &= \left( z^2 \frac{\kappa - 1}{2\kappa} + \frac{1}{4} \right) \times \\ &\times \begin{cases} 1 - \frac{4\delta_y \kappa}{\kappa - 1} |V_{1y} - V_{2y}| - \frac{4z^2 \delta_y}{z^2(\kappa - 1)/\kappa + 1/2} \times \\ \times \min(|V_{1y} - V_{0y}|, |V_{2y} - V_{0y}|), (V_{1y} - V_{0y})(V_{2y} - V_{0y}) \geq 0, \\ 1 - \frac{4\delta_y \kappa}{\kappa - 1} |V_{1y} - V_{2y}|, (V_{1y} - V_{0y})(V_{2y} - V_{0y}) < 0. \end{cases} \quad (21) \end{aligned}$$

Обозначим через  $\Lambda_{1x}(V_x)$ ,  $\Lambda_{1y}(V_y)$  статистически независимые случайные процессы со средними значениями  $z^2(\kappa - 1)B_x(V_x - V_{0x})/4\kappa$ ,  $z^2(\kappa - 1) \times B_y(V_y - V_{0y})/4\kappa$ , корреляционными функциями  $\hat{B}_x(V_{1x}, V_{2x})$  и  $\hat{B}_y(V_{1y}, V_{2y})$  соответственно, имеющие в точках  $V_{0x}$ ,  $V_{0y}$  одномерные плотности вероятности

$$w(\Lambda) = (z^2(\kappa - 1)/4\kappa\Lambda)^{3/8} \exp(-\Lambda - z^2(\kappa - 1)/4\kappa) I_{-3/4}(z\sqrt{\Lambda(\kappa - 1)/\kappa})$$

при  $\Lambda > 0$ ,  $w(\Lambda) = 0$  при  $\Lambda \leq 0$ . Здесь  $I_\mu(\cdot)$  – функция Бесселя мнимого аргумента порядка  $\mu$  [11].

Учитывая, что статистические характеристики случайных полей  $L_m(V_x, V_y)$  и  $\Lambda_{1x}(V_x) + \Lambda_{1y}(V_y)$  асимптотически совпадают в малой окрестности точки  $(V_{0x}, V_{0y})$ , находим [6, 10]

$$F_S(h) \approx \int_{-\infty}^{\infty} F(h-x) w(x) dx, \quad (22)$$

где  $F(x)$  – совпадающие функции распределения абсолютных максимумов случайных процессов  $\Lambda_{1x}(V_x)$  и  $\Lambda_{1y}(V_y)$ , а  $w(x) = dF(x)/dx$  – соответствующая плотность вероятности. Используя результаты [7], при больших значениях ОСШ  $z$  получим

$$\begin{aligned} F(x) &= \left( \frac{z}{2} \right)^{3/4} \left( 1 - \frac{1}{\kappa} \right)^{3/8} \exp \left( -\frac{z^2}{4} \left( 1 - \frac{1}{\kappa} \right) \right) \times \\ &\times \int_0^x \left[ 1 - \exp \left( \frac{z^2 (1 - 1/\kappa)(y-x)}{z^2 (1 - 1/\kappa) + 1} \right) \right]^2 \frac{\exp(-y)}{y^{3/8}} I_{-3/4} \left( z \sqrt{y \left( 1 - \frac{1}{\kappa} \right)} \right) dy, \end{aligned} \quad (23)$$

$$\begin{aligned} w(x) &= \frac{2^{1/4} z^{11/4} (1 - 1/\kappa)^{11/8}}{z^2 (1 - 1/\kappa) + 1} \exp \left( -\frac{z^2}{4} \left( 1 - \frac{1}{\kappa} \right) \right) \int_0^x \left[ 1 - \exp \left( \frac{z^2 (1 - 1/\kappa)(y-x)}{z^2 (1 - 1/\kappa) + 1} \right) \right] \times \\ &\times \exp \left( \frac{z^2 (1 - 1/\kappa)(y-x)}{z^2 (1 - 1/\kappa) + 1} \right) \frac{\exp(-y)}{y^{3/8}} I_{-3/4} \left( z \sqrt{y \left( 1 - \frac{1}{\kappa} \right)} \right) dy. \end{aligned} \quad (24)$$

Подставляя (23), (24) в (22) и используя результат в (16), для вероятности пропуска объекта, движущегося с неизвестным вектором скорости, при неизвестных интенсивностях его изображения и фона получим выражение

$$\begin{aligned} \beta_1 &= F_N^2(\sqrt{2h}) \frac{z^{7/2} (1 - 1/\kappa)^{7/4}}{2^{1/2} (z^2 (1 - 1/\kappa) + 1)} \exp \left( -\frac{z^2}{2} \left( 1 - \frac{1}{\kappa} \right) \right) \times \\ &\times \int_0^h \int_0^{h-x} \left[ 1 - \exp \left( \frac{y+x-h}{1 + 1/z^2 (1 - 1/\kappa)} \right) \right]^2 \frac{\exp(-y)}{y^{3/8}} I_{-3/4} \left( z \sqrt{y \left( 1 - \frac{1}{\kappa} \right)} \right) dy \times \\ &\times \int_0^x \left[ 1 - \exp \left( \frac{\chi - x}{1 + 1/z^2 (1 - 1/\kappa)} \right) \right] \exp \left( \frac{\chi - x}{1 + 1/z^2 (1 - 1/\kappa)} \right) \times \\ &\times \frac{\exp(-\chi)}{\chi^{3/8}} I_{-3/4} \left( z \sqrt{\chi \left( 1 - \frac{1}{\kappa} \right)} \right) d\chi dx \end{aligned} \quad (25)$$

при  $h \geq 1$ ,  $\beta_1 = 0$  при  $h < 1$ ; функция  $F_N(\cdot)$  определена в (14). Точность формулы (25) возрастает с увеличением ОСШ  $z$ , параметров  $m_x$ ,  $m_y$  и порога  $h$ .

В [5] рассмотрен случай обнаружения изображения объекта, движущегося в априори известном направлении с неизвестной величиной скорости, принимающей значения из априорного интервала  $W_1 = [0, V_{\max}]$ . В этой работе для вероятностей ошибок ложной тревоги  $\alpha_2$  и пропуска  $\beta_2$  объекта, движущегося в заданном направлении с неизвестной скоростью, при неизвестных интенсивностях его изображения и фона найдены асимптотические выражения

$$\alpha_2 \approx \begin{cases} 1 - \exp\left[-\frac{2m_1\kappa}{\kappa-1}\sqrt{\frac{h}{\pi}}\exp(-h)\right], & h \geq 1/2, \\ 1, & h < 1/2, \end{cases} \quad (26)$$

$$\beta_2 \approx \sqrt{\frac{2}{\pi}} \exp\left[-\frac{2m_1\kappa}{\kappa-1}\sqrt{\frac{h}{\pi}}\exp(-h)\right] \times$$

$$\times \int_0^{\sqrt{2h}} \left[1 - \exp\left(\frac{x^2/2-h}{1+\kappa/z^2(\kappa-1)}\right)\right]^2 \exp\left(-\frac{x^2+z^2(\kappa-1)/\kappa}{2}\right) \operatorname{ch}\left(zx\sqrt{\frac{\kappa-1}{\kappa}}\right) dx \quad (27)$$

при  $h \geq 1/2$ ,  $\beta_2 = 0$  при  $h < 1/2$ . Здесь  $m_1 = l_V TV_{\max}/2G_s$  – приведенная длина априорного интервала  $W_1$  возможных значений скорости;  $l_V$  – максимальный размер изображения объекта в направлении, перпендикулярном движению.

Конкретизируем выражения (26), (27) для случая обнаружения изображения прямоугольного объекта размером  $l_x \times l_y$ , стороны которого ориентированы вдоль координатных осей  $X$  и  $Y$  соответственно, движущегося под углом  $\phi$  к стороне длины  $l_x$ . Без ограничения общности можно считать, что  $0 \leq \phi \leq \pi/2$ . В этом случае площадь изображения объекта  $G_s = l_x l_y$ , его размер в перпендикулярном движению направлении  $l_V = l_x \sin \phi + l_y \cos \phi$ , неизвестная величина скорости движения принимает значения из интервала  $[0, V_{\max}]$ , где  $V_{\max} = V_{x \max}/2\cos\phi$  при  $0 \leq \phi < \phi_0$  и  $V_{\max} = V_{y \max}/2\sin\phi$ , если  $\phi_0 \leq \phi \leq \pi/2$ , а  $\phi_0 = \arctg(V_{y \max}/V_{x \max})$ . При этом число разрешимых значе-

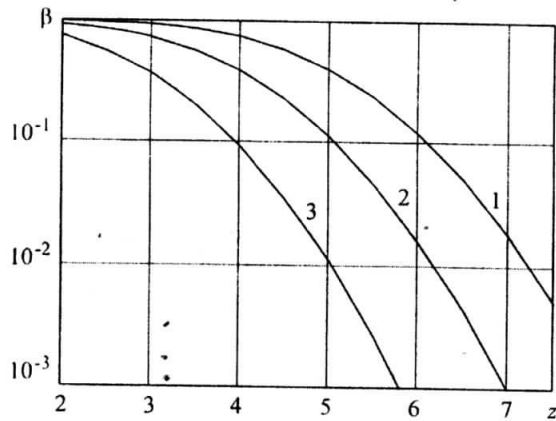
ний скорости  $m_1 = \frac{1}{2} \left( m_x + m_y \frac{\lg \phi}{\lg \phi_0} \right)$  при  $0 \leq \phi < \phi_0$  и  $m_1 = \frac{1}{2} \left( m_y + m_x \frac{\lg \phi}{\lg \phi_0} \right)$ ,

если  $\phi_0 \leq \phi \leq \pi/2$ .

Положим теперь, что скорость движения объекта априори известна. Тогда вероятности ошибок ложной тревоги и пропуска объекта определяются формулами [5]

$$\alpha_3 = 2[1 - \Phi(\sqrt{2h})], \quad (28)$$

$$\beta_3 = \Phi(\sqrt{2h} - z\sqrt{1-1/\kappa}) + \Phi(\sqrt{2h} + z\sqrt{1-1/\kappa}) - 1, \quad (29)$$



где  $\Phi(x) = \int_{-\infty}^x \exp(-g^2/2) dg / \sqrt{2\pi}$  – интеграл вероятности.

Зависимости вероятности пропуска движущегося объекта от ОСШ  $z$  при  $m_x = m_y = 10$  и  $k = 21$  показаны на рисунке. Порог выбирался на основании критерия Неймана – Пирсона [9] при вероятности ложной тревоги  $10^{-2}$  с использованием формул (15), (26) и (28). Кривая 1 соответствует случаю, когда вектор скорости изображения объекта априори неизвестен, и рассчитывалась по формуле (25). Кривая 2 соответствует случаю, когда неизвестна величина скорости, а направление движения задано, и рассчитывалась по формуле (27). Кривая 3 соответствует случаю априори известного вектора скорости движения объекта и рассчитывалась по формуле (29). Сопоставление кривых на рисунке позволяет оценить снижение эффективности обнаружения объекта вследствие полного или частичного априорного незнания вектора скорости. В частности, сопоставление кривых 1 и 2 дает возможность оценить проигрыш в эффективности обнаружения объекта вследствие априорного незнания величины скорости и направления движения объекта по сравнению со случаем обнаружения объекта, движущегося с неизвестной величиной скорости в априори известном направлении [5].

**Заключение.** Таким образом, априорное незнание величины скорости и направления движения изображения объекта может привести к существенному проигрышу в эффективности обнаружения по сравнению со случаями, когда направление движения или вектор скорости априори известны. Этот проигрыш возрастает с увеличением отношения сигнал/шум и числа элементов разрешения в априорной области возможных значений компонент вектора скорости.

#### СПИСОК ЛИТЕРАТУРЫ

1. Трифонов А. П., Прибытков Ю. Н. Обнаружение случайных изображений пространственно протяженных объектов, затеняющих фон // Автометрия. 2000. № 4. С. 14–25.
2. Бычков А. А., Понькин В. А. Обнаружение изображений пространственно протяженных затеняющих фон объектов // Автометрия. 1992. № 4. С. 33–39.

3. Ефремов В. В., Ковалев Г. С., Лаптев И. В., Понькин В. А. Потенциальные возможности обнаружения и маскирования движущихся объектов на неравномерных фонах // Информационно-измерительные и управляющие системы. 2003. № 4. С. 24.
4. Трифонов А. П., Куцов Р. В. Обнаружение движущегося пространственно протяженного объекта на фоне с неизвестной интенсивностью // Автометрия. 2005. **41**, № 1. С. 3–18.
5. Трифонов А. П., Куцов Р. В. Обнаружение движущегося с произвольной скоростью объекта при неизвестных интенсивностях изображения и фона // Автометрия. 2006. **42**, № 4. С. 3–16.
6. Трифонов А. П., Куцов Р. В. Эффективность обнаружения изображения объекта, движущегося с неизвестным вектором скорости // Известия вузов. Сер. Радиоэлектроника. 2007. **50**, № 11. С. 3.
7. Акимов П. С., Бакут П. А., Богданович В. А. и др. Теория обнаружения сигналов /Под ред. П. А. Бакута. М.: Радио и связь, 1984.
8. Трифонов А. П., Шинаков Ю. С. Совместное различение сигналов и оценка их параметров на фоне помех. М.: Радио и связь, 1986.
9. Тихонов В. И. Статистическая радиотехника. М.: Сов. радио, 1966.
10. Трифонов А. П., Захаров А. В. Эффективность обнаружения разрывного случайного радиоимпульса с неизвестными временем прихода и центральной частотой // Радиотехника и электроника. 2000. **45**, № 11. С. 1329.
11. Градштейн И. С., Рыжик И. М. Таблицы интегралов, сумм, рядов и произведений. М.: Наука, 1962.

*Поступила в редакцию 27 февраля 2008 г.*